

Nombre del Producto: Anticuerpo monoclonal de ratón HER2(11H9)**Nº de Catálogo: AMM11986**

Solo para uso en investigación.

Resumen

Descripción	Anticuerpo monoclonal de ratón
Huésped	Ratón
Aplicación	WB,IHC,ICC/IF
Reactividad	Humano, Ratón, Rata
Conjugación	No conjugado
Modificación	Sin modificar
Isotipo	IgG
Clonalidad	Monoclonal
Formato	Líquido
Concentración	1 mg/ml
Almacenamiento	Hacer alícuotas y almacenar a -20°C (válido por 12 meses). Evitar ciclos de congelación/descongelación.
Envío	Bolsas de hielo
Tampon	PBS, pH 7,4, que contiene 0,5% de proteína protectora, 0,02% de nuevo tipo conservante N como conservante y 50% de glicerol.
Purificación	Purificación por afinidad

Aplicación

Relación de Dilución	WB 1:2000-1:4000,IHC 1:100-1:200,ICC/IF 1:100-1:200
Peso Molecular	180kDa

Información del Antígeno

Nombre del Gen	ERBB2 ERBB2; HER2; MLN19; NEU; NGL; Receptor tyrosine-protein kinase erbB-2; Metastatic
Nombres Alternativos	lymph node gene 19 protein; MLN 19; Proto-oncogene Neu; Proto-oncogene c-ErbB-2; Tyrosine kinase-type cell surface receptor HER2; p185erbB2; CD340
ID del Gen	2064.0
ID SwissProt	P04626
Inmunógeno	Péptido sintético de HER2

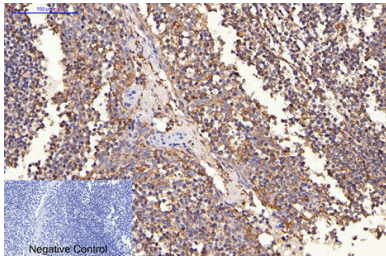
Antecedentes

Este gen codifica un miembro de la familia de receptores de tirosina quinasas del factor de crecimiento epidérmico (EGF). Esta proteína no posee un dominio de unión a ligando propio y, por lo tanto, no puede unirse a factores de crecimiento. Sin embargo, se une firmemente a otros miembros de la familia de receptores de EGF unidos a ligando para formar un heterodímero, estabilizando la unión del ligando y potenciando la activación mediada por quinasas de las vías de señalización posteriores, como las que involucran a la proteína quinasa activada por mitógenos y la fosfatidilinositol-3 quinasa. Se han descrito variaciones alélicas en las posiciones de aminoácidos 654 y 655 de la isoforma a (posiciones 624 y 625 de la isoforma b), mostrándose aquí el alelo más común, Ile654/Ile655. Se ha descrito la amplificación o sobreexpresión de este gen en numerosos cánceres, incluyendo tumores de mama y ovario. El empalme alternativo da lugar a varias variantes de transcripción adicionales, algunas de las cuales codifican la actividad catalítica: $ATP + a [proteína]-L-tirosina = ADP + a [proteína]-L-tirosina \text{ fosfato}$. Enfermedad: Los defectos en ERBB2 se asocian con el glioma cerebral familiar [MIM:137800], también llamado glioblastoma multiforme. Los gliomas son neoplasias del sistema nervioso central derivadas de células gliales e incluyen astrocitomas, glioblastoma multiforme, oligodendrogliomas y ependimomas. Enfermedad: Los defectos en ERBB2 se asocian con el cáncer gástrico [MIM:137215], también conocido como cáncer gástrico difuso familiar hereditario (CGDH). Enfermedad: Los defectos en ERBB2 se asocian con el cáncer de pulmón [MIM:211980]. También llamado adenocarcinoma de pulmón. Enfermedad: Los defectos en ERBB2 se asocian con cáncer de ovario [MIM:167000]. El cáncer de ovario es la principal causa de muerte por neoplasia maligna ginecológica. Se caracteriza por una presentación avanzada con diseminación locorregional en la cavidad peritoneal y la rara incidencia de metástasis viscerales. Estas características típicas se relacionan con la biología de la enfermedad, que es un determinante principal del pronóstico. Función: Componente esencial de un complejo neuregulina-receptor, aunque las neuregulinas no interactúan con él por sí solas. GP30 es un ligando potencial para este receptor. No se activa por EGF, TGF-alfa ni anfiregulina. Información en línea: Entrada de ERBB2. Polimorfismo: Existen cuatro alelos debido a las variaciones en las posiciones 654 y 655. El alelo B1 (Ile-654/Ile-655) tiene una frecuencia de 0,782; El alelo B2 (Ile-654/Val-655) tiene una frecuencia de 0,206; el alelo B3 (Val-654/Val-655) tiene una frecuencia de 0,012. PTM: La unión al ligando aumenta la fosforilación en residuos de tirosina. Similitud: Pertenece a la superfamilia de las proteínas quinasas. Familia de las proteínas quinasas Tyr. Subfamilia del receptor EGF. Similitud: Contiene un dominio de proteína quinasa. Subunidad: Heterodímero con cada uno de los demás receptores ERBB (Potencial). Interactúa con PRKCABP y PLXNB1. Forma parte de un complejo con EGFR y PIK3C2A o PIK3C2B. Puede interactuar con PIK3C2B cuando se fosforila en Tyr-1196. Interactúa con MEMO cuando se fosforila en Tyr-1248. Interactúa con MUC1. La estimulación por heregulina (HRG) en líneas celulares de cáncer de mama induce la unión de MUC1 con gamma-catenina.

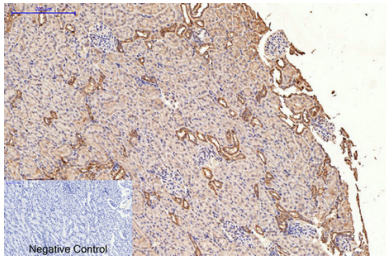
Área de Investigación

ErbB_HER;Calcio;Adhesión focal;Unión adherente;Vías en el cáncer;Cáncer de páncreas;Cáncer de endometrio;Cáncer de próstata;Cáncer de vejiga;Cáncer de pulmón de células no pequeñas;

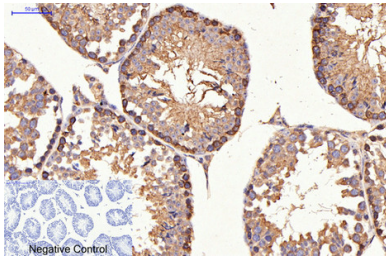
Datos de Imagen



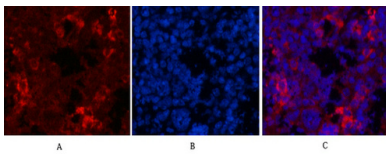
Análisis inmunohistoquímico de tejido amigdalino humano incluido en parafina. 1. El anticuerpo monoclonal HER2 (11H9) se diluyó a 1:200 (4 °C, durante la noche). 2. Se utilizó citrato de sodio a pH 6,0 para la recuperación de anticuerpos (>98 °C, 20 min). 3. El anticuerpo secundario se diluyó a 1:200 (temperatura ambiente, 30 min). El control negativo se utilizó solo con el anticuerpo secundario.



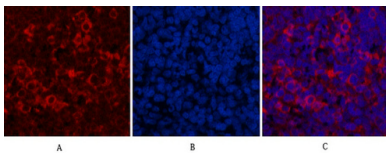
Análisis inmunohistoquímico de tejido renal de rata incluido en parafina. 1. El anticuerpo monoclonal HER2 (11H9) se diluyó a 1:200 (4 °C, durante la noche). 2. Se utilizó citrato de sodio a pH 6,0 para la recuperación de anticuerpos (>98 °C, 20 min). 3. El anticuerpo secundario se diluyó a 1:200 (temperatura ambiente, 30 min). El control negativo se utilizó solo con el anticuerpo secundario.



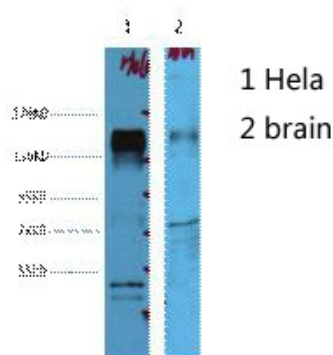
Análisis inmunohistoquímico de tejido testicular de ratón incluido en parafina. 1. El anticuerpo monoclonal HER2 (11H9) se diluyó a 1:200 (4 °C, durante la noche). 2. Se utilizó citrato de sodio a pH 6,0 para la recuperación de anticuerpos (>98 °C, 20 min). 3. El anticuerpo secundario se diluyó a 1:200 (temperatura ambiente, 30 min). El control negativo se utilizó solo con el anticuerpo secundario.



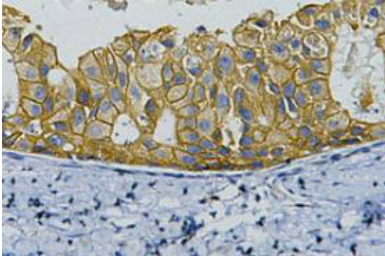
Análisis de inmunofluorescencia de tejido de bazo de ratón. 1. El anticuerpo monoclonal HER2 (11H9) (rojo) se diluyó a 1:200 (4 °C, durante la noche). 2. El anticuerpo secundario marcado con Cy3 se diluyó a 1:300 (temperatura ambiente, 50 min). 3. Imagen B: DAPI (azul) 10 min. Imagen A: Objetivo. Imagen B: DAPI. Imagen C: Fusión de A+B.



Análisis de inmunofluorescencia de tejido de bazo de rata. 1. El anticuerpo monoclonal HER2 (11H9) (rojo) se diluyó a 1:200 (4 °C, durante la noche). 2. El anticuerpo secundario marcado con Cy3 se diluyó a 1:300 (temperatura ambiente, 50 min). 3. Imagen B: DAPI (azul) 10 min. Imagen A: Objetivo. Imagen B: DAPI. Imagen C: Fusión de A+B.



Análisis de transferencia Western de 1) Hela, 2) Cerebro de ratón, diluido a 1:4000.



Tinción IHC de tejido de cáncer de mama humano, diluido a 1:200.